

<原 著>

豚扁桃腺의 放線菌病에 關한 病理組織學的研究

서울農業大學 獸醫學科 病理學教室

李 起 豊 金 常 均

HISTOPATHOLOGICAL STUDIES ON SWINE TONSILLAR ACTINOMYCOSIS

Ki Poong Lee

Sang Kyun Kim

Section of Veterinary Pathology

Department of Veterinary Medicine

Seoul Municipal College of Agriculture

Histopathological examinations were carried out on the swine tonsils from 175 randomly selected pigs at 1st Seoul Abattoir. Macroscopically, tiny miliary or rice size abscesses were recognized on 86 cases(49.1%) out of examined 175 cases. Of the total 175 cases, Actinomyces-like colonies were observed in 44 cases(25.1%) by fresh smear and 36 cases (20.5%) by histological examination in which 24 cases (13.1%) showed Gram-positive and 12 cases (6.8%), Gram-negative.

Considering from the high incidence of Actinomycotic infection in swine tonsils, there some possibilities to infect human being by consuming the infected swine tonsils so that they should not be approval for as a edible meat.

Microscopically, in sections stained with hematoxylin and eosin, the colonies appeared as eosinophilic, irregular shaped masses surrounded by a zone of radially arranged projections with round ends. The central parts of the colonies can be demonstrated by Gram's stain to be consisted of a tangled mass of Gram-positive rod shaped or long filamentous organism, which were often beaded and occasionally branched. The tissue immediately surrounding each colony disappeared and gave place to collection of closely packed and degenerated neutrophils, surrounded by an outer area of mononuclear cells, lymphocytes, plasma cells, and desquamated epithelial cells.

The epithelium of the tonsillar crypts were presenting vacuolar degeneration and desquamation with dense infiltration of small round cells. Dense diffuse or local infiltration of eosinophils were frequently observed in connective tissue and lymphoid tissue near the lesions of Actinomyces. The colonies of Actinomyces became encapsulated by proliferating connective tissue in cases of long standing in which Giant cells of Langerhan's type were occasionally recognized. The lumen of the tonsillar crypts contained large hyaline mass mixed with desquamated epithelial cells, granular detritus, and degenerated inflammatory cells. In prolonged cases, there were hyalinization of subepithelial connective tissues, marked fibrosis around the lymph follicles and interstitial connective tissue and

hyperplasia of lymphoid tissue and reticular-endothelial cells.

The colonies of Actinomyces were observed only in the tonsillar crypts presenting lacunal tonsillitis in all examined cases except three cases which Actinomycotic colonies were embedded both in the lymphoid tissue and tonsillas crypts. Two cases manifested cross-sectioned plant's fibers surrounded by a zone of radially arranged slender projection in the tonsillar crypts. Swine tonsillar Actinomycosis may develop when grain awns and other similar hard plants fiber penetrate the tonsils. When tongue is extended for food, the food cavity open; when the tongue is retracted, the food cavity closer. The tonsil occurred in the lateral walls of the isthmus faucium and roof of the tongue are frequently injured, particularly the tonsillar crypts by the foreign bodies and give rise to tiny abscesses.

I 緒 謂

放線菌病은 牛, 豚을 비롯한 여러 家畜과 人體에 發生하는 慢性人獸共傳染病으로서 食肉衛生上警戒하여야 할 傳染病이다. 牛에 있어서 *Actinomyces lignieresi*은 主로 頭部와 頸部의 軟組織을 侵犯하여 所謂 「木舌」을 形成하고 *A. bovis*은 頭部骨組織 特히 下顎骨에 侵入하여 肉芽腫을 形成한다. Magnusson⁽⁷⁾은 乳牛乳房炎에 있어서 *A. lignieresi*를 全例의 放線菌病巢에서 分離하였으며 豚의 乳房炎에 있어서는 3/1이 *Staphylococcus*의 感染에 基因된다고 報告하고 있다. Vawatev⁽¹¹⁾는 豚의 肺放線菌病을 報告하였으며 羽賀⁽¹⁰⁾(1951)等은 豚과 牛의 肺放線菌病은 病理組織學의 으로 檢索하여 各一例를 報告하였다. Ryff⁽⁵⁾(1953)는 사슴의 胸炎例와 Burns等은 馬의 感染例를 報告하였고 犬에 있어서는 肺⁽⁴⁾ 頰部 및 下顎骨⁽⁶⁾에서 各各 *A. bovis*를 分離하였다.

田川等^(15, 16)(1940)은 屠畜検査에 合格한 豚扁桃腺 50例와 不合格 200例에 對하여 細菌學의 檢索를 하여 放線菌을 그 例에서 分離하였으며 百貨店의 肉加工品에서 10餘例의 放線菌을 檢出하여 食肉衛生上 重要한 問題라고 注意를 挽起시켰다. 쏘련의 屠殺統計에 依하면 屠殺牛의 約 2.5%가 放線菌病이 있었다고 Kowalewsky가 報告하였다. 우리나라에 있어서는 豚의 放線菌病에 對한 統計學的觀察이 없으므로 發生頻度와 病理發生을 究明코자 本研究를 着手하였다.

II 研究材料 및 方法

서울 第一屠畜場에서 無選擇의 으로 豚의 扁桃腺을 175例 切取하여 3mm두께로 細斷하고 割面에 있어서 膿瘍病巢의 有無를 細密히 檢查한 다음 膿瘍에서부터 硫黃樣顆粒을 採取하고 載物硝子에 놓아 10% 苛性曹達과 混合한 後 카바 그라스로 蓋고 alkali에 溶解된 淡黃色의 特有한 菊花狀의 放線菌塊를 調査하였다. 病巢組織은 10% formaline에 固定한 後 Paraffine 切片組織標本을 製作하여 Hematoxyline Eosin 染色파菌塊內의 *Actinomyces bovis*의 菌絲를 證明할目的으로 Gram 染色을 實施하였다.

III 檢查成績

肉眼的 所見 .

初期病巢는 扁桃腺이 肿大, 柔軟하며 割面은 濕潤하여 體樣膨隆 하며 慢性型에 있어서는 肿大, 正常 또는 萎縮되어 있고 實質의 纖維化로 因하여 硬度가 增加되어 있다. 斷面에는 粢粒大, 米粒大, 小豆大的 黃色潤이 強한 化膿巢가 單發 또는 密發하고 汚穢膿樣物質로 부터 硬固, 微細한 硫黃樣顆粒이 存在하고 있다. 多數例에 있어서 植物性 異物이 實質內에 穿刺되어 있다.

組織所見 :

扁桃腺의 小膿瘍病巢에서 採取한 硫黃樣顆粒을 載物硝子上에서 10% 苛性曹達液을 混合하여 Cover 그라스를 蓋고 檢鏡하면 Alkali에 溶解된 膿中에서 淡黃色인 菌塊周圍에는 光線曲折率이

높은 棍棒이 放線狀으로 配列되어 있다(圖 1).

直接塗沫檢鏡으로 小膿瘍에서 放線菌樣菌塊가 175例中 44例(25.1%)에서 確認되었으며 組織切片標本에 있어서는 175例가운데 86例(49.1%)가 膿瘍病巢를 가지고 있고 腺窩內의 膿性滲出物에서 36例(20.5%)가 放線菌樣菌塊를 가지고 있었으며 Gram染色을 하였던 바 24例(13.1%)가 陽性即 A. bovis이며 12例(6.8%)가 陰性이었다.

初期病變의 組織像은 腺窩內에 退行性變性이 強한 多型核白血球, 大單核球, 淋巴球, 剝離腺窩上皮細胞로 構成된 膿性滲出物에는 菌塊가 있으며 菌塊내에는 Hematoxylin에 暗青色으로 染色되는 菌絲가 있고 菌塊周圍에는 冠狀으로 Eosin에 染色되는 棍棒이 있다(圖 2). Gram染色에는 菌塊내에 Gram陽性인 球狀 또는 連球狀으로 分枝된 菌絲가 紊狀으로 繞혀 있고 菌塊周圍에 있어서는 菌絲가 放線狀으로 配列되어 있다(圖 3, 4).

二例에 있어서는 腺窩내에 穿刺된 植物性纖維의 周圍에는 Eosin에 淡染되는 細長한 棍棒이 放線狀으로 配列되어 있고 Gram染色에는 陰性이므로 A. lignieresii가 아닌가 推測된다(圖 5).一般的으로 A. lignieresii의 菌塊는 A. bovis에 比하여 크기가 작은 傾向이 있고 棍棒도 A. bovis 보다 細長하고 膿性滲出物도 A. bovis 보다 豐富하다(圖 6).

腺窩上皮는 浮腫狀으로 粗鬆하며 空脆變性이 있고(圖 7), 上皮細胞는 크기가 正常 또는 膿大되고 核은 顯著하게 濃縮되고 細胞形質은 空虛透明하다. 菌塊를 含有하고 있는 腺上皮는 廣範圍하게 浮腫과 粗造化가 著明하여 腺窩上皮下에 存在하고 있는 淋巴濾組織으로 부터 多數의 淋巴球와 好中球가 腺窩를 向하여 遊走함으로 腺窩重層扁平上皮는 上層보다 下層이 始初에 浸潤을 받고 減次的으로 全層이 完全히 淋巴球 및 炎症細胞에 依하여 破壊置換되어 있다(圖 8).

腺窩上皮의 表層은 塊狀으로 剝離되어 炎症細胞와 混合되어 懷死塊를 形成하고 있다. 潤內皮細胞가 增殖하여 潤內에 剝溶되고 網狀纖細胞의 增殖腫大가 著明하다.

一般的으로 淋巴濾胞의 組織增生反應像을 4型으로 區分할 수 있다. (1) 淋巴濾胞의 正常構造의 比例로 增生하는 것. (2) 胚中心이 顯著하게 增生한 것(濾胞性增生). (3) 淋巴組織이 滯慢性으로 增生한 것. (4) 淋巴濾胞의 委縮과 濾胞周圍 및 間質組織의 顯著한 纖維化가 된 것.

(1)型은 淋巴濾胞가 顯著하게 膿大되고 中心部에는 淡明한 胚中心이 出現하고 多數의 淋巴芽細胞가 있으며 有絲分裂하는 것도 있다. 網狀纖細胞는 膿大되고 胚中心이 膿大에 因由되어 淋巴球는 周圍組織에 壓迫되어 依少한 輪狀層이 形成되고 淋巴球는 周圍組織에 移行되어 淋巴濾胞는 胚中心, 淋巴球層, 移行層의 3層으로 區分할 수 있다(圖 10, 11). (2)型은 淋巴濾胞의 胚中心이 極度로 膿大되어 周圍의 成熟한 淋巴球로 構成된 狹少한 輪狀層이 消失되고 膿大된 胚中心으로만 構成되어 있고 慢性型으로 移行할 때는 結合纖性腹으로 完全包圍된다(圖 12). (3)型은 正常的인 淋巴濾胞의 構造는 完全히 滯滅되고 扁桃腺組織은 高度로 增生한 淋巴球로 占有되고 있으며 部分的으로 膿大 또는 委縮된 淋巴濾胞가 殘存되어 있다(圖 13). (4)型은 淋巴濾胞는 一般的으로 委縮되어 있고 濾胞周圍와 間質에는 纖維細胞 및 纖維芽細胞의 增殖이 顯著하며 濾胞는 纖維化한 結合纖月으로 包圍되어 있고 全體組織의 硬化가 著明하다(圖 14).

慢性化한 例에 있어서는 扁桃腺上皮下結合組織은 增殖하여 硝子樣化하고 있다(圖 15). 腺窩上皮는 粗造化하여 多數의 淋巴球, 單核球의 浸潤이 있고 腺窩內의 菌塊周圍에는 幼若纖維芽細胞의 增殖으로 結合組織이 形成되고 淋巴球, 單核球, 好酸球, 形質細胞 Langhan's巨大細胞의 浸潤이 있다. 陳舊例에 있어서도 腺窩내에 剝離된 上皮細胞와 炎症細胞가 硝子樣變性을 이르거나 核融解, 核破碎, 核濃縮의 退行性變性이 있고 腺窩는 硝子樣塊로 充填되어 있다(圖 16). 濾胞反應은 (1) (2) (4)型이 많고 網狀纖細胞反應과 淋巴球增生이 顯著하여 淋巴樣組織과 結合組織에는 多數의 好酸球가 局所性 또는 滯慢性으로 集簇되어 있다.

IV 考 擦

Magnusson^(7, 8)은 Sweden에 있어서 1922年부터 1928年間에 걸쳐서 牛와 豚의 放線菌病巢를 細菌學의 으로 檢索하여 牛 135頭中에서 41%가 *Actinomyces*에 基因된것이며 其中 48頭는 頸骨에 病巢가 있었고 軟部組織, 即 舌에서 22頭 그리고 淋巴腺, 齒齦, 硬口蓋粘膜, 口腔, 皮膚等에 病巢가 發生한 33頭合計 55頭에서 *A. lignieresii*를 分離하였다. Haupt와 Zeki의 調査에 依하면 放線菌病巢를 가진 42頭의 牛에 있어서 24頭는 *A. bovis*이며 15頭는 *A. lignieresii*였으며 19頭의 豚에 있어서는 14頭가 *A. bovis*이며 4頭에서 부터 *Micrococcus Pyogenes Aureus Rosenbach*를 檢出하였다. Bosworth⁽²⁾는 牛 34頭에 있어서 *A. lignieresii*가 21例, *A. bovis*가 13例였다고 하며 Davies⁽³⁾와 Torrance는 牛 15頭中에서 *A. lignieresii*가 11頭였으며 豚은 一例가 *A. bovis*였다고 報告하였고 Thomson⁽¹⁾은 牛 28頭中에서 23頭가 *A. lignieresii*이며 5頭는 *A. bovis*였다고 報告하고 있다. 岡野等 (1954)은 205例의 豚扁桃腺을 檢索한바 直接塗沫標本에서 放線菌塊가 確認된 것이 27例이며 이것을 嫌氣性培養한 結果 13例의 扁桃腺에서 27株의 *Actinomyces*를 分離하였다. 中島等⁽¹¹⁾이 報告한 日本의 芝浦屠場에 있어서의 疾病類別로 觀察한 統計에 依하면 豚의 扁桃腺은 9%였다고 한다. 本例에 있어서는 豚扁桃腺 175例中에서 86例(49.1%)가 膿瘍病巢를 가지고 있었다.

諸文獻을 參照하여 볼때 牛에 있어서는 放線菌病巢에서 *A. bovis* 보다 *A. lignieresii*가 많이 分離되고 있으나 豚에 있어서는 反對로 *A. bovis*가 많다. 本例에 있어서는 175例의 豚扁桃腺을 直接塗沫標本에서 檢索한바 放線菌樣菌塊가 44例(25.1%)에서 確認할 수 있었으며 H & E染色에서는 36例(20.5%)였고 其中 Gram陽性 即 *A. bovis*가 24例(13.1%)이며 陰性이 12例(6.8%)였다.

美國이나 丁抹을 為始한 歐美先進國家에 있어서 豚扁桃腺을 食用으로 提供하지 않고 있으나 現在 우리나라에 있어서는 屠場規則에 따라 屠

場에서 扁桃腺을 除去하지 않고 食用으로 提供하고 있는 現實과 扁桃腺의 높은 放線菌病罹患率을 考慮할 때 人體感染의 憂慮가 濃厚함으로 特急히 屠場規則의 變更과 適切한 對策을 講求함이 要望된다.

Shanan과 Davis(1912)가 列舉한 文獻에는 化膿性病巢에서 直接生體檢鏡하면 *A. bovis*와 俗似한 菌塊가 *A. lignieresii*와 *Coccidioides immitis*에도 出現된다고 한다. 그러나 組織學的所見으로서는一般的으로 *A. bovis*의 菌塊는 *A. ligninieresi* 보다 크기가 크고 後者는 前者보다 菌塊의 棍棒이 細長하고 濃性滲出物이 豊富하며 Gram染色을 하면 *A. bovis*의 菌塊에는 陽性인 菌絲를 染色할 수 있으나 *A. lignieresi*는 陰性이므로 染色이 不可能하다. *Coccidioidomycosis*에 있어서 組織標本에서 球型인 菌體周圍에는 棍棒에 特有한 形態를 가지 *Coccidioidal immitis*가 있고 成熟한 菌體에는 内胞子로 充填되어 있으며 Gram陰性으로 *A. bovis*와 같은 菌絲가 없기 때문에 容易하게 鑑別할 수 있다. 肉眼的으로 放線菌病巢와 結核病巢는 區別이 困難하지만 組織學的으로 放線菌病巢에서 病巢中央에 特徵 없는 菌塊가 있고 周圍에는 主로 好中球의 浸潤이 있으며 結核病巢와는 달리 乾酪性壞死, 軟化巢가 없고 結核結節에 出現하는 特有한 類上皮細胞層이 없다. 陳舊病巢에는 好中球 單核球形質細胞가 多數있고 纖維等細胞, 纖維細胞의 增殖으로 말미암아 結合織으로 被囊되어 周圍正常組織과는 明瞭하게 區劃됨으로 組織學的檢索으로서 鑑別하기 容易하다. 本例에 있어서는 放線菌病菌塊가 全例에 있어서 腺窩內에 充填되어 있으며 急性 또는 慢性腺窩性扁桃腺炎의 組織像을呈示하고 있었으며 3例에 있어서는 腺窩뿐만 아니라 二次的 病變으로서 淋巴組織內에 菌塊가 있었다.

그例에 있어서는 腺窩內에 植物纖維가 穿刺되어 있고 周圍에 放線上으로 棍棒이 形成되어 있었다.

菌塊에는 變性變化가 進行된 好中球, 淋巴球, 單核球, 形質細胞 및 劍離上皮細胞의 集簇이 있고 腺窩上皮의 粗造化, 炎症細胞의 浸潤과 塊狀

創傷가 있고 病機가 進行됨에 따라 結合纖維樣膜으로 包圍되어 淋巴組織增生, 網狀內皮細胞反應結合織의 增生과 纖維化가 進行됨에 따라 複雜한 痘巢가 形成된다.

採食하기 為하여 舌體를 伸張할때는 口腔은 커지며 舌體를 收縮할때는 口腔은 縮少되어 食塊가 食道로 넘어 갈때는 壓縮됨으로 보리의 까끄라기 같은 堅固한 異物이 扁桃腺에 穿刺되기 쉽다. 扁桃腺에 있어서 放線菌病 痘巢의 仔發位置는 腺窩이며 이 腺窩는 臟器面에서 凹陶되어 있으므로 異物이 突入하는 機會가 많기 때문에 好發하는 것이라 생각되며 菌體는 主로 異物穿刺의 媒介에 따라 扁桃腺에 浸入한다고 믿어 진다.

V 結 言

서울第一屠場에서 無選擇的으로 切除한 扁桃腺을 病理組織學의 으로 檢索한바 다음과 같은結果를 얻었음.

(1) 供試扁桃腺 175例中 肉眼的으로 膿瘍病巢가 있는것이 86例(49.1%)이며 直接塗沫標本에서 放線菌病菌塊가 確認된것이 44例(25.1%)이고 組織標本에 있어서는 36例(20.5%)였으며 其中 Gram陽性例 即 *Actinomyces bovis*는 24例(13.1%)이며 陰性例는 12例(6.8%)였다.

(2) 放線菌病菌塊는 扁桃腺 腺窩에 限局되어 存在하고 腺窩扁桃腺炎을 呈示하고 있으며 異物穿刺의 媒介에 따라 傳染된다.

(3) 放線菌病이 人體感染할 憂慮가 있으므로

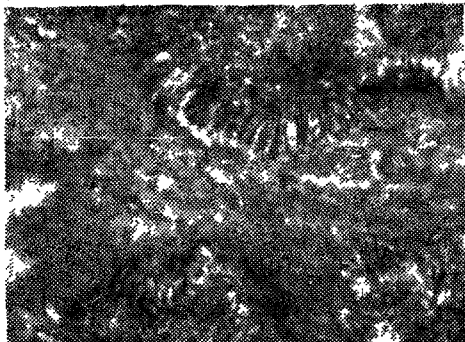


Fig. 1. The borders of the crushed Sulfur granules show radiating, swollen, club-like endings. Fresh smear; x 600.

食肉衛生上 屠場에서 豚扁桃腺을 除去하여 食用으로 提出할 必要가 있다.

參 考 文 獻

- 1) Thompson, C.; Jour. inf., Dis. 52, 223 (1933).
- 2) Bosworth, T.; Jour. Comp. Path and therap., 36, (1923)
- 3) Paries, GO. and Torrance H.L.; Ibid- 43, 216 (1930).
- 4) Menges, Larsh, and Haberman.; Jour. Am. Vet. Associ. 122, 73 (1953)
- 5) Ryff, ; Ibid, 122, 78 (1953)
- 6) Miglians and Stopiglia, Ibid, 118, 32 (1951)
- 7) Magnusson, H.; Acta. Path. et. Micro. biol. Scand., 5, 170 (1928)
- 8) ———; Vet. Res, 9, 288 (1929)
- 9) Burns and Simmons; Austral. Vet. Jour. 28, 34 (1952)
- 10) Y. Omura and S. Sugano; Jap. Jour. Vet. Sci., 8, 97-103 (1951)
- 11) Vawter; Jour. Am. Vet. med. Assoc, 109, 198 (1946)
- 12) 岡野眞臣, 小堀進; 第38回日本獸醫學會記事 (1954)
- 13) 中島亥, 鈴木章, 田島眞次郎; 第39回日本獸醫學會記事 (1955)
- 14) 田川謙吉, 田中時彌, 豊増勝萬, 豊岡幹雄, 第1回日本獸醫學會記事 (1939)
- 15) 田川謙吉, 豊増勢萬, 豊岡幹雄 第5回日本獸醫學會記事 (1940).

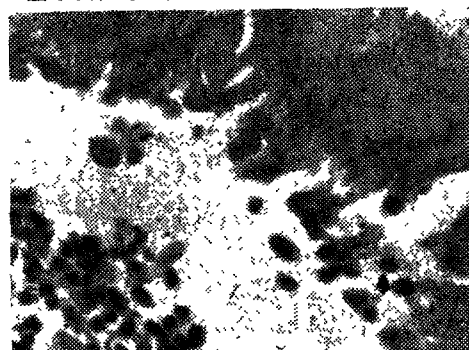


Fig. 2. Eosinophilic irregularly shaped colonies of *Actinomyces bovis* are surrounded by a zones' of radially arranged club-like projections. H & E stain; x 600.

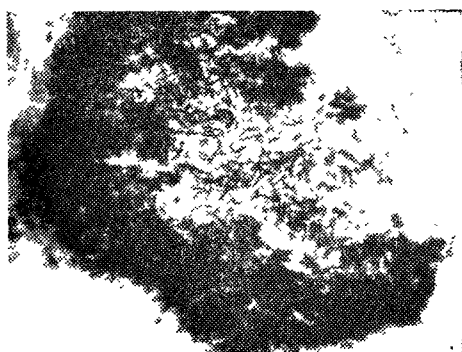


Fig. 3. The central part of the colony is made up of tangled mass of Gram-positive, filaments and surrounded by a zone of radiating club shaped structures. Grams stain; x 150.

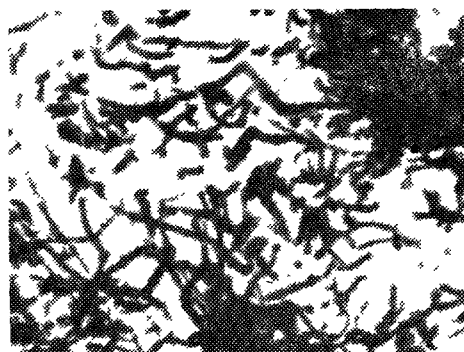


Fig. 4. Higher magnification of the portion shown fig. 3. Note tangled mass of Gram-positive, red shaped or long filamentous organisms. Grams stain; x 600.

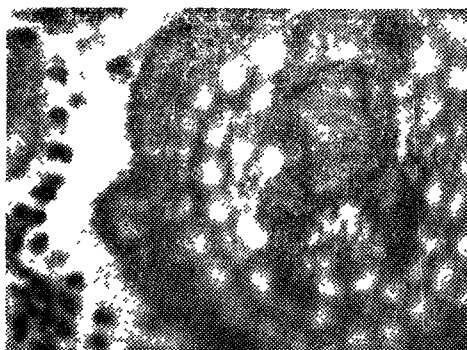


Fig. 5. Cross sectioned plant's fiber is surrounded by a zones of radially arranged slender projections with infiltration of inflammatory cells. H & E stain; x 600.

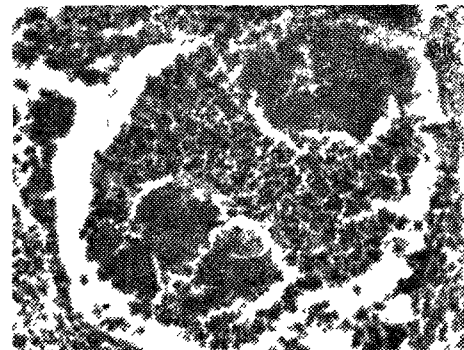


Fig. 6. The colonies of *A. lignieresii* are much smaller, the radiating clubs longer and more slender, and the purulent exudate more abundant than in Actinomycosis. H & E stain; x 150.

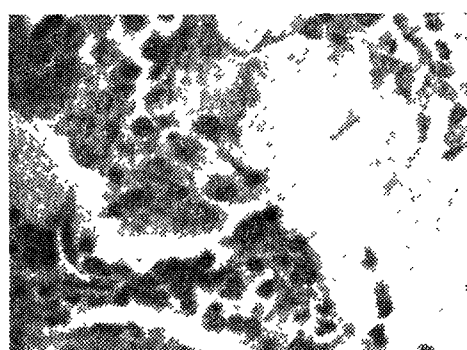


Fig. 7. The epithelium of the tonsillar crypts are presenting vacuolar degeneration and desquamation with infiltration of small round cells. H & E stain; x 600.

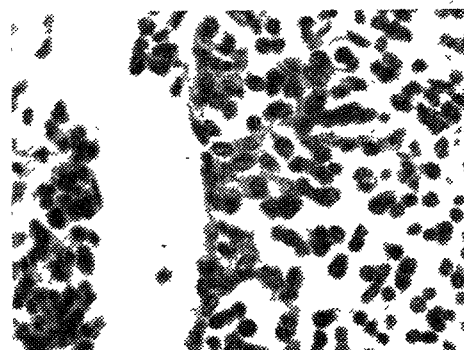


Fig. 8. The epithelium of the tonsillar crypts are loosen and destructed by infiltrating inflammatory cells. H & E stain; x 600.

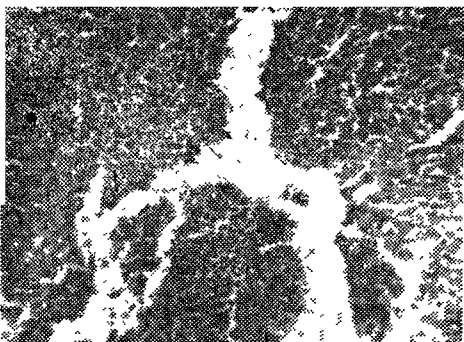


Fig. 9. The epithelium of the tonsilar crypts are densely infiltrated with round cells and sloughed off the lumen of the crypts. H & E stain; x 150.

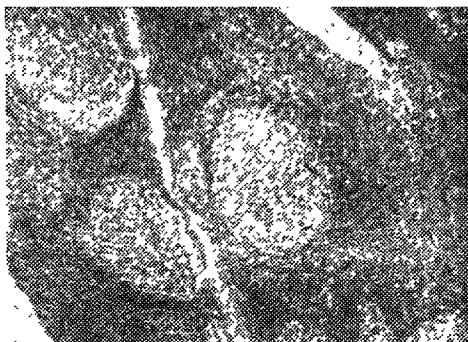


Fig. 10. Note hyperplasia of lymph follicles persisting of normal structure. The germinal centers are numerous and surrounded by a wide zone of closely packed and darkly staining lymphocytes. H & E stain; x 50.

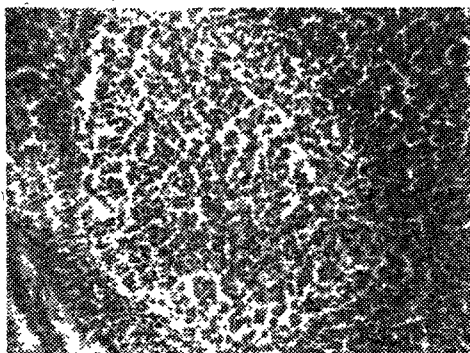


Fig. 11. Higher magnification of the portion shown in fig. 10. The lymph follicles are consisting of three layers; germinal center, matured lymphocytes, and transferring zone of the lymphocytes. H & E stain; x 150.

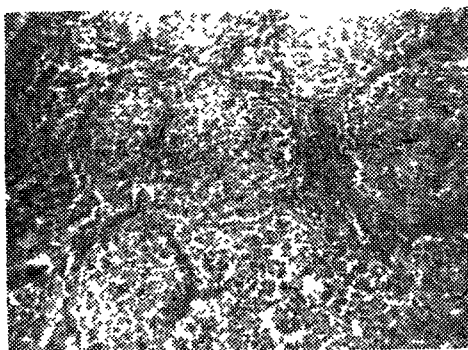


Fig. 12. The germinal center proper are large and pale with slight accumulation of mature lymphocyte in the periphery. H & E stain; x 50.

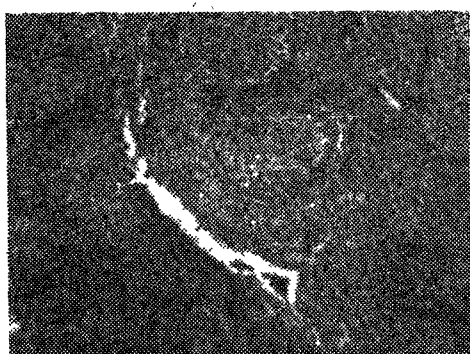


Fig. 13. Note diffuse lymphoid hyperplasia with indistinct germinal centers. H & E stain; x 50.

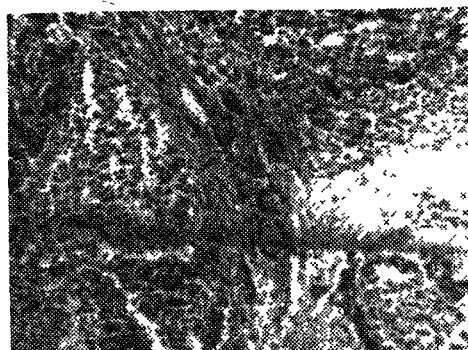


Fig. 14. Note marked fibrosis around the atrophied lymph follicles. H & E stain; x 150.

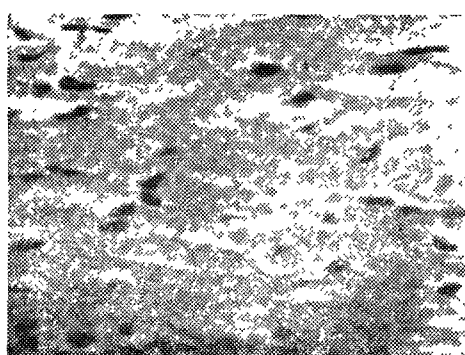


Fig. 15. Note hyalinized subepithelial connective tissue of the tonsil H&E stain; x600.

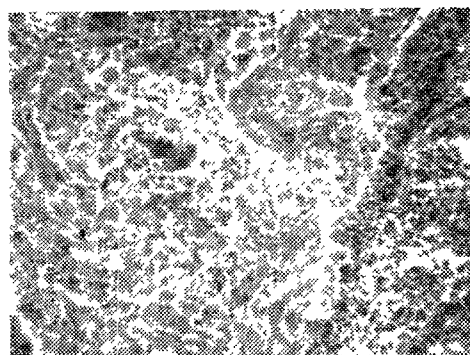


Fig. 16. The lumen of the tonsillar crypts contain large hyalinized mass mixed with desquamated epithelial cells, granular detritus and degenerated inflammatory cells. H & E stain; x 150.

—(34頁에서 계속)—

瘦을 나타내는 것은簡単に治療を期待하기 어려우나 이와 같은處置以外對症療法이必要하다.

다) 本病에 該當되는 主剤藥을 使用할 것은勿論이거나와 이와併用하여 強心劑 強肝劑, 榻養劑 整腸劑 Vitamin 劑等의 各藥劑를 充分히 使用하여 對症治療를 加하여 輸血하는 것도 效果가 있다고 한다.

소의 Babesia病은 發熱 血色素尿 黃疸等이 必發하고 甚한 貧血 간혹 神經症狀을 일으키는 痘으로서豫防은 所謂 小型 Piroplasma 痘과 大同小異하다豫防接種劑는 없으나 이 병의 常在地에서는 Premunizing의 方法에 의하여豫防한다. (Premunizing이라는 것은 가볍고 害가 없는 感染을 人工的으로 함으로써 實地 自然感染되지 않도록 하는 것을 말한다) 常在地에 있어서 實施된 耐過牛 接種에 依한豫防法은 特히 6—15個月의 幼牛에 對하여 實施된 方法이나 常在地에서도 3%의 接種 損失이 있다.勿論 處女地에서는 利用안된다. 大橋는 1% Israbin 水溶液 100—200ml의 脈管內注射와 同時に 罷病牛血液 200ml 皮下注射를 同時に 實施 할 때는 거의 無反應으로써豫防의 目的을 達成하였다고 한

다. 그리고 媒介體의 驅除는 勿論 機械的傳染의 防止 (注射針 外科器具等을 여러 소에 共同으로 使用하지 말것이며 한소에 使用한 다음에는 반드시 消毒하여 다른 소에 使用할 것 治療藥品으로써 Acridine系 色素인 Trypaflavin 1% 水溶液 120—150ml의 靜脈內注射 함으로써 回復率이 90.7% 이였고 Trypanblue는 50%이였다고 大橋氏는 말하고 있다. 그리고 1% Israbin 水溶液 100—120ml의 單味 脈管內注射로서도 大端히 좋은 效果가 있었다고 한다. Trypanblue와 膽汁을 加한 것 (20% Trypanblue와 80%의 膽汁色素를 加한 것으로서 그 1—2ml를 生理的食鹽水에 溶解하여 脈管內注射) 그리고 尿素製劑인 Acaprin 5% 溶液을 體重 100kg에 對하여 2ml 皮下 또는 筋肉注射가 널리 應用되고 있다. 또 “Hemosporidin” (Benzhydrol의 有機銅 ester)을 體重 1kg 當 0.6mg을 皮下에 1—2回 2時間 間隔으로 注射하여 좋은 效果를 보았다고 한다.

以上과 같이 治療에 있어서 Babesia病의 藥劑와 所謂 小型 Piroplasma病에 使用되는 藥劑는 각각 効力面에 있어서 無效 또는 差異가 甚함으로 이를 区分하여야 할 것이다.

<筆者=家畜衛生研究所研究官>